

# 多面体認識の並列処理

田中弘美, 辻三郎, Dana H. Ballard, Matthew Curtiss  
大阪大学基礎工学部 University of Rochester

A parallel algorithm that uses the description of a 3-d scene to detect instances of known object models is described. Parallelism of algorithms is achieved by the use of the Hough method. The 3-d scene contains stacked objects each of which is a rigid polyhedron and may be partially occluded. The geometric structure of the scene and object models is described in the polyhedral representation that represents faces, edges, and vertices explicitly. Objects at arbitrarily different orientation and position in the scene are recognized by finding transformation parameters which specify changes in orientation and translation between parts of the scene and object models by matching edges and vertices.

## 1. 序

コンピュータビジョンやロボット工学の多くの研究は、画像と実世界の重要なパラメータ間の拘束について説明することに、大きな努力をばらってきた。しかしこのような拘束された環境を規定して計算を行うことについての問題点は、あまり議論されていない。また一方では物体の適切な表現法 (representation) は、まづはじめに、これらの拘束下にある限定された環境下で考察される表現法の特徴も、よって記述されるべきであると考えられてきた。

従来のシーケンシャルな処理に適したノイマン型のコンピュータは、この様な制約された環境における問題の解決には有効であるが、一般の複雑な環境を規定する場合には、並列処理機構が使われるべきであると見る見方が一般的になって来ている。それに伴いコンピュータ用の並列処理機、並列アルゴリズムも急速に注目されて来ている。

本論文は複数の多面体を含む三次元のシーンにおいて、既知の多面体(群)を一時に識別する並列アルゴリズムについて述べる。アルゴリズムは並列であるために並列処理機を用いれば、計算の複雑さは、シーンに含まれる多面体の個数に対して独立である。

シーンの複雑さの次に挙げられる問題点としてオクルージョンがある。空間の固定した一点から見たシーンの解析には物体の多くの部分が他の物体によって隠れているという大きな問題点を含んでいる。ここで述べるアルゴリズムはオクルージョンに対してあまり影響を受けず、また物体の記述が完全でなく、一部分の記述しかない場合にも有効であるという特徴を持っている。

三次元物体の形状認識問題は論理的には次の二部分に分けられる。(1) データから三次元の幾何構造の作成、(2) 得られた幾何構造から既知物体

のライブラリへのマッチング、である。

本論文では第一問題は解決済みつ折り多面体の形状は、得られたデータを基に、面、稜、頂点を用いた多面表現 (Polyhedral Representation) によって記述されているものと仮定する。このような幾何情報は距離画像や濃淡画像やステレオ法から諸手法を[1]用いて作成することが可能である。

第二の問題点である画像に基いた幾何構造とモデルデータとのマッチングは、従来は、コーナー問題として扱われて来た[2,3,4]。しかし、二次元における画像とモデルデータとマッチングを並列処理する手法は[6]は、三次元の場合にも拡張可能であることが示唆された[7]。この並列処理法は、画像の局所的な特徴などを手掛かりにして、画像データから各モデルデータへの変換を並行して算出できるという事実に基づいている。本論文では、これを発展させ 1) 変換の回転部分検出がより効果的に処理される、2) 領域間の隣接に関する拘束も考慮される、3) 変換の回転部分と平行移動部分の両方が算出できる、4) データの希薄性を考慮し、パラメータテーブルと呼ばれるデータ構造を採用しているなどの特色を持つ並列処理法を述べる。

## 2. 概略

アルゴリズムは三次元シーンの面稜と頂点による多面表現の一部分と、既知物体のモデルの多面表現を比較し、その間の変換を第一処理の回転部分、第二処理の平行移動部分に分けて検出する。変換が正しく求められれば、物体はシーンにて確認され、変換パラメータ値がその位置を示唆する。システムの概略を図1に示す。

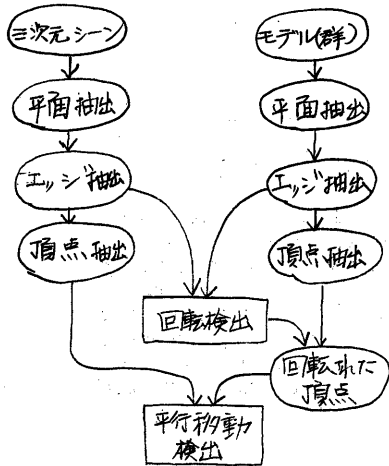


図1. システム概略

### 3. 表現法

物体の形状の幾何学的構造を簡単にとらえ、その拘束を表現するために、各次元物体は、平面、頂点の集合として表現されている。

#### 3.1. 平面表現 (P representation)

物体の形状をその表面を構成する平面  $P_i$  の集合  $\mathbf{P}$  として表現する。各平面  $P_i$  は次の様に定義される。

$$\mathbf{P} = \{P_i\} \quad \text{平面 } P_i \text{ の集合 } i=1, 2, \dots, n$$

$$P_i = \{\vec{n}_i, f_i\}$$

ただし、 $\vec{n}_i = (\alpha_i, \beta_i, \gamma_i)$  平面  $P_i$  の法線ベクトル。  $\alpha_i, \beta_i, \gamma_i$  は  $x, y, z$  軸と  $P_i$  の方向余弦

$f_i$  = 平面  $P_i$  から原点までの距離

#### 3.2. エッジ(稜)表現 (E representation)

物体の形状を、隣接する二平面の境界線(エッジ)  $E_i$  の集合  $\mathbf{E}$  として表現する。各エッジ  $E_i$  は次の様に定義される。

$$\mathbf{E} = \{E_i\} \quad \text{エッジ } E_i \text{ の集合 } i=1, 2, \dots, l$$

$$E_i = (\alpha_i, \vec{e}_i, \vec{c}_i, \vec{c}_i, f_i, l_i, m_i)$$

ただし、 $\alpha_i$  = 隣接する二平面の交差角  
 $\vec{e}_i$  =  $E_i$  と  $x, y, z$  軸の方向余弦

$\vec{c}_i$  =  $E_i$  の傾き

$\vec{c}_i$  = 原点から  $E_i$  の方向

$f_i$  =  $E_i$  から原点への距離

$l_i$  =  $E_i$  の長さ

$m_i$  = モデルインデックス  $E_i$  が属する物体モデル名

図2に、平面  $P_i$  と  $P_j$  が隣接し、その境界線  $E_i$  にエッジ  $E_{ij}$  を定義した図を示す。二平面の法線ベクトル  $\vec{n}_i = (\alpha_i, \beta_i, \gamma_i)$ ,  $\vec{n}_j = (\alpha_j, \beta_j, \gamma_j)$  とすると、二平面の交差角  $\alpha$  は、次式により求められる。

$$\alpha = \pi - \theta \quad \text{ただし } \cos \theta = (\vec{n}_i \cdot \vec{n}_j) / \|\vec{n}_i\| \cdot \|\vec{n}_j\| \quad (1)$$

エッジ方向  $\vec{e}_\alpha$  は両平面の法線ベクトル  $\vec{n}_i, \vec{n}_j$  に垂直であることから、

$$\vec{e}_\alpha = \pm (\vec{n}_i \times \vec{n}_j) / \|\vec{n}_i \times \vec{n}_j\| = (l_\alpha, m_\alpha, n_\alpha) \quad (2)$$

ただし  $l_\alpha, m_\alpha, n_\alpha$  は  $\vec{e}_\alpha$  の方向余弦。

エッジの傾き  $\vec{c}_\alpha$  は二平面の法線ベクトルの平均として定義される。 $\vec{c}_\alpha$  は  $\vec{e}_\alpha$  に垂直である。

$$\vec{c}_\alpha = (\vec{n}_i + \vec{n}_j) / 2 = (l_\alpha, m_\alpha, n_\alpha) \quad (3)$$

エッジ  $E_i$  の方向を示すベクトル  $\vec{e}_i$  と  $f_i$  は、原点から  $E_i$  への最短距離を示すベクトル  $\vec{D} = (f_i, \vec{e}_i)$  を使い、次式から求められる。

$$\vec{n}_i \cdot \vec{D} = f_i, \quad \vec{n}_j \cdot \vec{D} = f_j, \quad \vec{e}_i \cdot \vec{D} = 0 \quad (4)$$

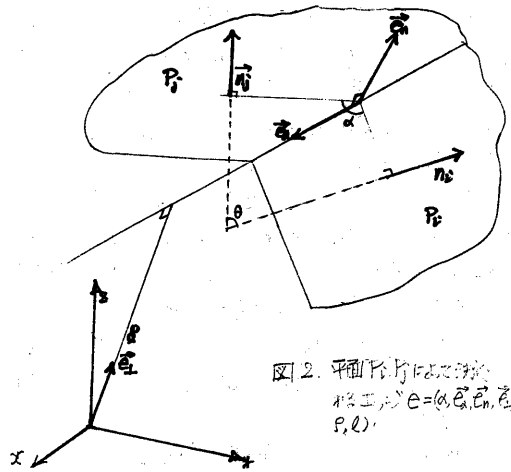


図2. 平面  $P_i, P_j$  の法線ベクトル  $\vec{n}_i, \vec{n}_j$  とエッジ  $E_i$  の方向余弦  $(l_\alpha, m_\alpha, n_\alpha)$ 。

#### 3.4. 頂点表現 (V representation)

物体の形状を、エッジが交差している頂点  $V_i$  の集合  $\mathbf{V}$  として表現する。各頂点  $V_i$  は次の様に定義される。

$$\mathbf{V} = \{V_i\} \quad \text{頂点 } V_i \text{ の集合 } i=1, 2, \dots, j$$

$$V_i = (\vec{p}_i = (x_i, y_i, z_i), m_i, A_i = \{\beta\})$$

ただし  $\vec{p}_i = (x_i, y_i, z_i)$  は  $V_i$  の座標

$m_i$  =  $V_i$  で交差しているエッジの数

$A_i = \{\beta\}$  は  $V_i$  で交差している  $m$  本のエッジから任意に選んだ  $m$  本のエッジが交差する角度  $\alpha$  の集合

図3に、 $E_1, E_2, E_3$  の4本のエッジにより定義される頂点  $V$  を示す。

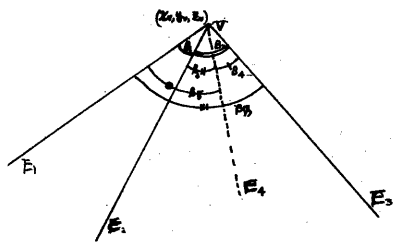


図3. エッジ  $E_1, E_2, E_3, E_4$  は  $V$  で交差する頂点  $V = (p_1, q_1, r_1)$ ,  $A = (p_2, q_2, r_2)$

#### 4. 並列形状認識

三次元シーン中の各物体は、その物体のモデルからの変換を知るにより認識される。シーンは観測者中心座標系で、又物体は各物体中心座標系で記述されていることから、三次元シーン中の各物体を認識する問題は、この異なる二座標系間の変換パラメータ値を決定する問題に置き換えることができる。

以下に述べる並列認識処理は、シーンに含まれる各物体の回転パラメータを決定する第一段階、得られた回転パラメータ値を基に平行移動パラメータ値を決定する第二段階に分けてそれぞれを別処理し、順次決定する方法を採っている[7]。各段階共、キャリブレーションを用いた一般化変換が用いられ[8, 9, 10]、シーンに含まれる  $N$  の物体の回転、平行移動力の検出は並列処理される。

##### 4.1. 回転(傾き)検出

シーン中の物体を認識するために、各モデルからの変換を求める手法が、Ballalらにおいて提案された[7]。シーンモデルとの間で共通する特徴を持つ部分間で対応をとり、両者の見かけの違いから変換パラメータ値を、特に回転パラメータ値を推定した。しかし、この手法では、対応の手がかりとなる特徴として面の大きさが用いられているために、オクルージョンの影響を受けやすく、多数の物体を含む複雑なシーンでは、正しい面間の対応を見出す事は困難である。又一面の対応は、物体座標系と対応している面の法線ベクトルに対してある角度に拘束するだけであるので、物体座標系を一意に決めるためには、少なくとも傾きの異なる三面の対応が必要である。

本文では、対応をとる部分として、稜にあたるエッジを、共通する特徴として、エッジの角度、つまり隣接する二平面が交差する角度を用い、そのエッジ間の相対姿勢の違いから回転パラメータを算出する。

対応の手がかりにされるエッジの角度  $\alpha$  は、交差する

二平面の方程式から計算されるために、それぞれの平面の一部分がシーンに現われていれば、角度は正しく計算される。そのためにもオクルージョンが起こっていても、エッジ間の正しい対応関係を見つけたことが可能である。又、一面の対応は回転パラメータ空間上では一円周に射影されるのに対して、二エッジの対応は二点、すなわちそのエッジの両側の二平面が描く二円周の二交点に射影されている。これはシーン中のあるエッジと物体モデル上のあるエッジとの対応関係が判れば、そのエッジを含む物体の回転の可能性は二通りに限定されることを意味する。図4に、シーン中のエッジ  $E_s$  と物体モデル中の  $E_m$  に対応した場合の、物体  $M$ 、つまり物体  $M$  のモデルが記述されている物体座標系での二通りの回転可能性を示す。

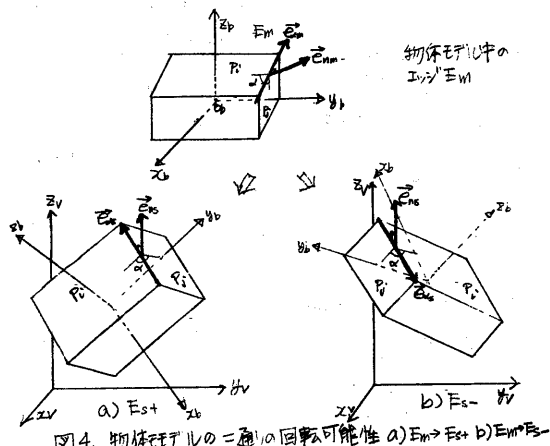


図4. 物体モデルの二通りの回転可能性 a)  $E_s \rightarrow E_s$  b)  $E_m \rightarrow E_m$

##### 4.1.1. 回転算出原理

物体の回転  $R$  は、回転軸  $W$  と  $W$  の周りの回転角  $\theta$  で表現され、対応しているエッジ  $E_s, E_m$  の  $E$  表現の一部の二単位ベクトル  $(\vec{e}_{as}, \vec{e}_{ns})$ 、 $(\vec{e}_{am}, \vec{e}_{nm})$  を対して比較することにより算出される。

シーン中のエッジ  $E_s$  からモデル  $M$  のエッジ  $E_m$  に対応する場合を考える。  $E_s, E_m$  の  $E$  表現は、

$$E_s = (\alpha_s, \vec{e}_{as}, \vec{e}_{ns}, \vec{e}_{is}, p_s, l_s) \quad (5)$$

$$E_m = (\alpha_m, \vec{e}_{am}, \vec{e}_{nm}, \vec{e}_{lm}, p_m, l_m)$$

エッジ方向ベクトルの差分ベクトルを  $\vec{D}_\alpha$ 、エッジ法線ベクトルの差分ベクトルを  $\vec{D}_n$  とする。求める回転軸  $W$  は  $\vec{D}_\alpha, \vec{D}_n$  の両方に対して垂直であるから、

$$\vec{D}_\alpha \cdot \vec{W} = 0 \quad (6)$$

$$\vec{D}_n \cdot \vec{W} = 0$$

$$\text{F.T. level } \vec{D}_\alpha = \vec{e}_{as} - \vec{e}_{am}$$

$$\vec{D}_n = \vec{e}_{ns} - \vec{e}_{nm}$$

(6) より回転軸  $W$  は二差分ベクトル  $\vec{D}_\alpha, \vec{D}_n$  の

外積から次の様に計算される。

$$\vec{W} = (\vec{D}_a \times \vec{D}_n) / \|\vec{D}_a \times \vec{D}_n\| \quad (7)$$

右図(図5)に示す様に、得られた $W$ を極ベクトル $g$ を赤道とするカウス球を考える。二本の方向ベクトル $\vec{e}_{ns}$ ,  $\vec{e}_{nm}$ と、法線ベクトル $\vec{e}_{ns}$ ,  $\vec{e}_{nm}$ をカウス球に射影すると、 $\vec{W} \times \vec{e}_{ns}$ と $\vec{W} \times \vec{e}_{nm}$ は赤道上の二ベクトルに対応し、両ベクトルの成す角度は求める回転角 $\theta$ に等しくなっている。回転角 $\theta$ は(8)を解くことにより得られる。

$$\begin{aligned} \cos \theta &= (\vec{W} \times \vec{e}_{ns}) \cdot (\vec{W} \times \vec{e}_{nm}) \\ \vec{W} \cdot \sin \theta &= (\vec{W} \times \vec{e}_{ns}) \times (\vec{W} \times \vec{e}_{nm}) \end{aligned} \quad (8)$$

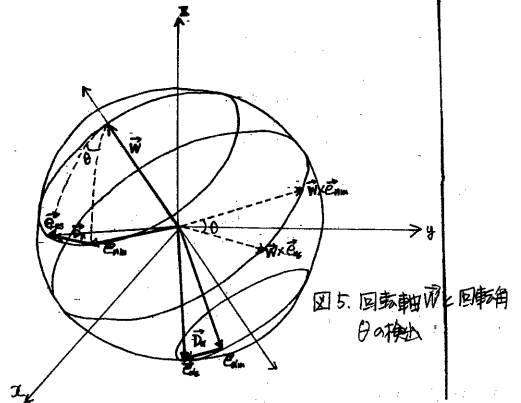


図5 回転軸 $W$ と回転角 $\theta$ の検出

#### 4.12 並列回転検出アルゴリズム

三次元シーン、又シーンに含まれる物体のモデル群の形状は、3.2で述べた様に、 $E$ 表現によるエッジの集合 $E = \{E_i\}$ として記述されている。各エッジは同じ値の交差角を持つエッジ毎にまとめて、交差角 $\alpha$ をインテクスとする。シーンエッジテーブル、モデルエッジテーブルに格納されている。図6にエッジテーブルの様式を示す。アルゴリズムは、このテーブルを用いて対応関係にあるエッジを探し出し、その相違から物体の回転スロータ値を算出する。

隣接平面 $P_i, P_j$ の交差角 $\alpha_i$	$\alpha_i$ を交差角として持つエッジ $E_i$ の集合 $E(\alpha_i) = \{E_1(\alpha), E_2(\alpha), E_3(\alpha), \dots, E_k(\alpha)\}$
$\Delta\alpha$	$E(\Delta\alpha)$
$2\Delta\alpha$	$E(2\Delta\alpha)$
$\vdots$	$\vdots$
$i\Delta\alpha$	$E(i\Delta\alpha)$
$\vdots$	$\vdots$
$k\Delta\alpha(2\pi)$	$E(k\Delta\alpha)$

図6. エッジテーブル

複数物体の並列処理を可能にするために、各物体モデルからそれぞれ格納されているエッジテーブルを集めて、一つのエッジテーブルに統合する。統合エッジテーブルのエントリは、各物体モデルのエッジテーブルのエントリの和、つまり統合エッジテーブルのインテクス $\alpha$ によるエントリ $IE(\alpha)$ は、各モデル $M_i$ から格納されているエッジのインテクス $\alpha_i$ によるエントリ $E_i(\alpha)$ の和である。

$$IE_m(\alpha) = E_1(\alpha) + E_2(\alpha) + \dots + E_k(\alpha)$$

$F$ は物体モデル数 (9)

統合エッジテーブルにおける各エッジの $E$ 表現は、そのエッジが属する物体モデル名を示すために、モデルインテクス $M^*$ が追加されている。

$$E' = (\alpha, \vec{e}_1, \vec{e}_n, \vec{e}_t, \rho, l, M^*)$$

$E_s, E_m$ をそれぞれシーン、物体モデル $M$ から抽出された任意のエッジとする。もし、互いの持つ交差角 $\alpha$ が等しければ、 $E_s$ と $E_m$ は対応しているとみず。これは交差角 $\alpha$ をインテクスとし、シーンエッジテーブルから得られるエントリ $E_s(\alpha)$ とする。同様に統合エッジテーブルから得られるエントリ $IE(\alpha)$ とする。 $E_s(\alpha)$ と $IE(\alpha)$ は合せるエッジの交差角はすべて $\alpha$ であるから、それぞれ任意に選んだ二本のエッジの組み合わせは、すべてが対応関係にあるとみず。とかくできる。 $E_s(\alpha)$ と $IE_m(\alpha)$ の対応をそれぞれ $k, l$ とすると $k \times l$ 個の対応するエッジの組み合わせが得られる。

図7に例を示す。今 $M$ 個の物体モデルのうち、交差角 $\alpha$ があるエッジはモデル $M_i$ から $E_i(\alpha) = \{E_{i1}, E_{i2}\}$ 、モデル $M_j$ から $E_j(\alpha) = \{E_{j1}, E_{j2}, E_{j3}\}$ 抽出され、その和 $E_i(\alpha) + E_j(\alpha)$ が統合エッジテーブルでインテクス

交差角 $\alpha$	$IE(\alpha) = \{E_1(\alpha), E_2(\alpha), E_3(\alpha), \dots, E_m(\alpha)\}$	$M$ はモデルインテクス
$\alpha$	$IE_m(\alpha) = \{E_{i1}, E_{i2}, E_{j1}, E_{j2}, E_{j3}\}$	統合エッジテーブル

$$\begin{aligned} S &= \{ \text{シーンとモデル群間での交差角}\alpha\text{を持つ対応したエッジの集合} \\ &= \{ (E_{i1}, E_{s1}), (E_{i1}, E_{s2}), (E_{i1}, E_{s3}), \\ &\quad (E_{i2}, E_{s1}), (E_{i2}, E_{s2}), (E_{i2}, E_{s3}), \\ &\quad (E_{j1}, E_{s1}), (E_{j1}, E_{s2}), (E_{j1}, E_{s3}), \\ &\quad (E_{j2}, E_{s1}), (E_{j2}, E_{s2}), (E_{j2}, E_{s3}), \\ &\quad (E_{j3}, E_{s1}), (E_{j3}, E_{s2}), (E_{j3}, E_{s3}) \} \end{aligned}$$

}  $M_i$ の回転  
 $R_1, R_2$ の抽出  
}  $M_j$ の回転  
 $R_1, R_2, R_3$ の抽出

交差角 $\alpha_i$	$E_s(\alpha_i) = \{E_{s1}, E_{s2}, E_{s3}, \dots, E_{sm}\}$	
$\alpha$	$E_s(\alpha) = \{E_{s1}, E_{s2}, E_{s3}\}$	シーンエッジテーブル

図7. 統合エッジテーブルから得る対応エッジ

$\alpha$ のエントリー  $IE_m(\alpha)$  として格納されている。一方、シーンからは  $ES(\alpha) = \{E_{s1}, E_{s2}, E_{s3}\}$  のエッジが、交差角  $\alpha$  を持ち、シーンエッジテーブルのインデクス  $\alpha$  のエントリーとして格納されている。  
 $ES(\alpha) \times IE_m(\alpha) = 3 \times 5$  の対応エッジ対が得られる。  
 $(E_{s1}, E_{i1}), (E_{s1}, E_{i2})$  はそれぞれシーンのエッジ  $E_{s1}$  が物体モデル  $m_i$  のエッジ  $E_{i1}, E_{i2}$  に対応すると解釈する場合を示し、各解釈に対応した物体  $m_i$  の回転パラメータ値を算出する。同様に  $(E_{s2}, E_{i1}), (E_{s2}, E_{i2})$  はシーンのエッジ  $E_{s2}$  が  $m_i$  のエッジ  $E_{i1}$  または  $E_{i2}$  に対応すると解釈した場合を示し、各解釈に対応した物体モデル  $m_i$  の回転パラメータ値を算出する。

アルゴリズムは、四エッジテーブルから得られた各対応エッジ対に対して、モデルインデクス  $m^*$  によって示される物体の、二通りの回転可能性を計算し、その値をアキムレータに“投票”(voting)する。その値が既にアキムレータに在れば、該当の投票数(votes)を指定された量だけ増加させる。もし無ければ、空領域の先頭に追加する。この様に、キャシアキムレータには常に投票数の多い順に、上位  $k$  の値の回転パラメータのみ保持されている。物体  $m_i$  の回転パラメータ値は、キャシアキムレータ上で、モデルインデクスの値が  $m^* = i$  である回転パラメータ値の中から最大の得票をしたものに決定される。

### 回転検出アルゴリズム

input: シーンエッジテーブル (SE Table)  
 統合エッジテーブル (IE Table)

(step.0) SE Table, IE Table を作成する。

step.1 キャシアキムレータを初期化する。  
 モデルインデクス  $m^*$ , 回転軸  $\vec{W} = (l_w, m_w, n_w)$  に対して  $l_w, m_w, n_w$  は  $x, y, z$  軸方向の方向余弦,  $l_w^2 + m_w^2 + n_w^2 = 1$ , 回転角  $\theta$ , 投票数  $N$

	$m^*$	$\vec{W}$		$\theta$	$N$
		$l_w$	$m_w$		
1					
2					
...					

キャシアキムレータ

step2. 各交差角  $\alpha_i$  に対して ( $i=1, 2, \dots$ )  
 SE Table, IE Table から得られるエントリ  $ES(\alpha_i), IE_m(\alpha_i)$  とする。

step2.1  $ES(\alpha_i), IE_m(\alpha_i)$  から得られる各対応エッジ対  $(E_{sj}, E_{mj})$  に対して ( $E_{sj} \in ES(\alpha_i), E_{mj} \in IE_m(\alpha_i)$ )

step2.1.1 (7) の回転軸  $\vec{W}$  を求める  
 $\vec{W} = (\vec{D}_s - \vec{D}_m) / \|\vec{D}_s - \vec{D}_m\|$   
 $= (l_w, m_w, n_w)$

step2.1.2 (8) の回転角  $\theta$  を求める

step2.1.3 キャシアキムレータ上に、 $m^*$   $\theta$  を投票する。

step3. 各物体  $m_i$  に対して ( $m=1, 2, \dots, k$ ) に対して、

アキムレータから、モデルインデクス  $m^* = i$  で投票数  $N$  が最大の回転パラメータ値を選び、物体  $m_i$  の回転パラメータ値を決定する。

### 4.2. 位置検出

第一段階で決定された回転パラメータ値を用いて、各物体モデルを正しく回転させれば、シーン中の各物体と他のモデルとの相違は位置だけとなる。

各物体の位置は、そのモデルが記述されている物体座標系と、三次元シーンが記述されている世界座標系との間の平行移動として定義されている。

位置の検出には、物体の頂点が用いられる。三次元シーン中の頂点と各物体モデルの頂点の対応は、等しい交差角  $\beta$  の有無が判断される。つまりシーン中のある頂点  $V_s$  と物体モデル  $m_i$  の頂点  $V_m$  は、それぞれ  $V$  表現に示される交差角集合  $A_s = \{\beta_s\}, A_m = \{\beta_m\}$  (ただし  $V_s = (P_{vs}(x_{vs}, y_{vs}, z_{vs}), N_s, A_s), V_m = (P_{vm}(x_{vm}, y_{vm}, z_{vm}, N_m, A_m))$ ) に“共通する交差角  $\beta$  が含まれていれば、 $V_s$  と  $V_m$  は対応している”と判断される。求める = 座標間の平行移動値は  $V_s$  と  $V_m$  の三次元座標の差  $P_{vs} - P_{vm}$  と計算される。

$$T = (\Delta x, \Delta y, \Delta z) \quad (10)$$

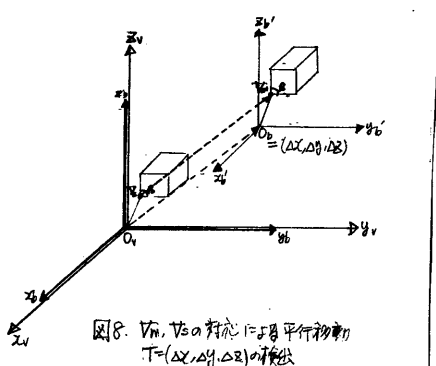
$$= (P_{vs} - P_{vm})$$

$$= (x_{vs} - x_{vm}, y_{vs} - y_{vm}, z_{vs} - z_{vm})$$

図8は、共通の交差角  $\beta$  をもつ交差角集合に含む二頂点  $V_s$  と  $V_m$  が対応し、その三次元座標の差から求める二座標間の平行移動が

算出されることを示している。

$N$ 本のエッジで構成される頂点  $V_i$  は、 $M \times C_2$  個の交差角の集合  $A_i$  (ただし等しい値の  $\beta$  も重複に数えた場合) として記述されるために、各交差角  $\beta \in A_i$  毎に、 $V_i$  の正しい対応関係が確認されることになる。各頂点の形状の複雑さ (エッジの本数  $M$ , 交差角  $\beta$  の数  $C_2$  等) が正しく対応に反映されている。



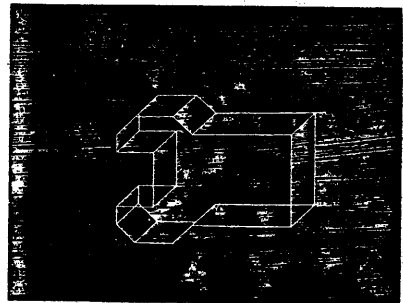
平行移動検出アルゴリズムは回転検出アルゴリズムと同様に、二つのテーブル (シーン頂点テーブル, 統合頂点テーブル) を参照し、共通のエッジ交差角  $\beta$  を持つ対応頂点対  $(V_s, V_m)$  を得てその位置の差  $P_m - P_s$  から平行移動パラメータを算出し、アキムレタ上には「投影する」。モデル  $M_i$  の平行移動パラメータ値はモデルインデックスが  $M^*$  であるものの中から最大の得票を得るものに決定される。

### 5. 実験結果

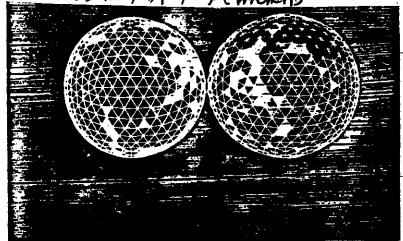
現在はシーン、モデルと対応する一つの物体を含む場合のみの実験まで終了し、その結果は表1に示す通り、三例ともほぼ正しい結果を得ている。今後は、多数の物体を含むシーンを扱う実験へ発展させ、アルゴリズムの並列性を確認するのが課題である。

	Rotation				Translation	
	Computed		Desired		Computed	Desired
	w	e	w	e	T	T
wrench	0.7000 0.0000 0.7000	1.5080	0.7071 0.0000 0.7071	1.57	16.0 24.0 -4.0	15.0000 -20.0000 -5.0000
hill	0.7000 0.0000 0.7000	1.1310	0.7071 0.0000 0.7071	1.162389	20.0 -12.0 12.0	20.0000 -15.0000 10.0000
polarbear	0.7000 0.0000 0.7000	1.0053	0.7071 0.0000 0.7071	1.036726	-32.0 -20.0 -20.0	-30.0000 -20.0000 -20.0000

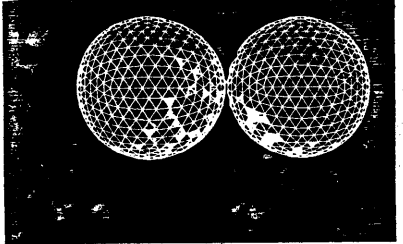
表1. 実験結果 1.2.3 の内容



(a) インพุットデータ (Wrench)



(b) 回転抽出結果



(c) 平行移動抽出結果

図9. Wrench データを用いた実験結果

### 参考文献

- [1] Ballard D.H. and Tanaka T.H. "Frame-Based Form Perception: Constraints, Algorithms, Implementation" TR , Computer Science Dept., University of Rochester, Submitted to 9th IJCAI, LosAngeles, CA
- [2] R.O Duda, D. Nitzan and P.Barvet, "Use of Range and Reflectance Data to Find Planar Surface Regions", IEEE Trans. On Pattern Analysis and Machine Intelligence Vol. PAMI-1, No. 3, pp 259-271, July 1979
- [3] R.Bajcsy, "Three Dimensional Scene Analysis," Proc. 4th IJCPJR Kyoto, Japan, Nov. 1978, PP86-96
- [4] Oshima M. and Shirai Y. " A Scene Description Method Using Three-Dimensional Information", Pattern Recognition, Vol. 11, pp.9-17,1979
- [5] Oshima M. and Shirai Y., "Object Recognition Using Three-Dimensional Information", In Proc. IJCAI-81, 1981 pp601-616
- [6] Hrechanyk, L.M. and Ballard, D.H., "A connectionist model for shape perception," Computer Vision Workshop, Ringe, NH, August 1982; also appeared as "Viewframes: A connectionist model of form perception," Proc., DARPA IU Workshop, Arlington, VA, June 1983.
- [7] Ballard H.D. and Sabbah D. " Viewr Independent Shape Recognition" IEEE Trans. On Pattern Analysis and Machine Intelligence, Vol PAMI-5, No6, Nov, 1983
- [8] Brown C. "Hierarchical Cache Accumulators For Sequential Mode Estimation," TR 125, Computer Department, University of Rochester
- [9] Duda R.O. and Hart P.E., "Use of the Hough Transform to detect lines and curves in pictures." CACM 15, 1, 11-15 Jan. 1972
- [10] Ballard D.H., "Generalizing the Hough Transform to Detect Arbitrary Shapes."